

Computação gráfica - Fase 3

Diogo Pires^[a93239], Gonalo Soares^[a93286], Marco Costa^[a93283], and Rita
Teixeira,^[a89494]

Universidade do Minho

1 Introduo

Este projeto foi realizado no mbito da Unidade Curricular de Computao Grfica. O principal objetivo deste trabalho  a continuao das fases anteriores, a partir das quais conseguimos obter vrios modelos e aplicar-lhes transformaes. Nesta nova fase, os objetivos foram:

- Gerar novos modelos baseados em *patches* de Bezier;
- Utilizar VBO's;
- Implementao de Catmull- Rom cubic curves.
- Modo multi-view.

. Sendo assim, ao longo deste relatrio iremos descrever os passos tomados que levaram  nossa resoluo e tambm iremos demonstrar tais resultados.

2 Generator

Para esta fase, foi implementada a transformao de um ficheiro do tipo *patch* em um ficheiro do tipo *3d*, que, posteriormente, vai ser lido no *Engine*.

O ficheiro *patch* contm a descrio da superfcie de *Bezier* desejada. J o ficheiro *3d*, como vimos em fases anteriores, contm um conjunto de tringulos a serem desenhados pelo *Engine*.

Assim sendo, o primeiro passo  o tratamento do ficheiro *patch*. Depois da extrao dos pontos de controlos de cada *patch* definido no ficheiro, passamos  parte do seu processamento. Assim, para calcular um dado ponto num instante u e v foi utilizada a seguinte formula:

$$p(u, v) = \begin{bmatrix} u^3 & u^2 & u & 1 \end{bmatrix} M \begin{bmatrix} P_{00} & P_{01} & P_{02} & P_{03} \\ P_{10} & P_{11} & P_{12} & P_{13} \\ P_{20} & P_{21} & P_{22} & P_{23} \\ P_{30} & P_{31} & P_{32} & P_{33} \end{bmatrix} M^T \begin{bmatrix} v^3 \\ v^2 \\ v \\ 1 \end{bmatrix}$$

Fig. 1. Formula utilizada para o calculo do ponto da superfcie *Bezier* num dado instante u e v

Optamos por pre-calcular a multiplicação das matrizes que, em principio, não se alterariam. Ou seja, $M * P * M^T$, onde M é a Matriz de *Bezier*, M^T a sua transposta e P a matriz que contém os 16 pontos de controlo.

Para facilitar a multiplicação decidimos calcular separadamente as coordenadas do ponto final. Logo vamos ter 3 matrizes pre-calculadas para cada campo da coordenada.

Segue-se, agora, o cálculo de todos os pontos da superfície para a posterior definição de triângulos. Para este cálculo é utilizada a tesselação passada como argumento como o número de divisões por cada *patch*.

Para o cálculo dos triângulos simplesmente iteramos cada conjunto de quatro pontos consecutivos (em duas linhas e colunas consecutivas) formando sempre dois triângulos para definir este "quadrado".

3 Engine

A respeito do *engine*, o objetivo é o de realizar transformações de *translate* e *rotate* dos elementos. Estas animações serão realizadas baseadas em *Catmull-Rom cubic curves*, sendo que também serão considerados VBOs.

Assim sendo, alteramos o rendering dos modelos de maneira a utilizar VBOs e também adicionamos translações de *Catmull-Rom* e rotações dinâmicas.

3.1 VBOs

Para alterarmos a renderização dos modelos de forma a utilizarem buffers de vértices, tivemos que mudar a estrutura da classe *Model*. Assim, removemos a classe *Triangle* que usávamos para guardar os vários triângulos e substituímos por um vetor de *floats* que contém todos os vértices de cada triângulo, sequencialmente.

Com isto, para renderizar o modelo, precisamos apenas de "dizer" à placa gráfica para desenhar o *buffer* de vértices todo de uma só vez. Isto, obviamente, é muito mais eficiente do que a implementação anterior em que enviávamos à placa gráfica um vértice de cada vez.

3.2 Animações

Para implementarmos as animações, foi necessário alterar as classes *Translate* e *Rotate*. Para este efeito, em ambas as classes, tivemos que adicionar algumas variáveis:

- **bool dynamic** - Define-se uma translação/rotação como dinâmica (animação) ou estática. Desta forma, é possível distinguir se a transformação é relativa a uma animação, no caso dos planetas a rodarem, ou se descreve uma translação para formar uma cena estática, como a da pirâmide.
- **milliseconds full.time** - Define o tempo total da animação
- **int start** - Define o instante de tempo na qual a animação começou.

Rotação A rotação não se mostrou um grande desafio, não sendo necessário adicionar nenhuma variável, para além das referidas acima. Deste modo, só temos que calcular o tempo decorrido com a seguinte formula:

$$cur_time = (glutGet(GLUT_ELAPSED_TIME) - start) \% full_time$$

De seguida, usamos este valor para calcular a rotação atual:

$$cur_rotation = (cur_time * 360.0f) / (full_time)$$

3.3 Translação

Para calcularmos a curva de Catmull-Rom necessária para as transações dinâmicas tivemos que recorrer ao uso de matrizes.

$$p(t) = \begin{bmatrix} t^3 & t^2 & t & 1 \end{bmatrix} \begin{bmatrix} -0.5 & 1.5 & -1.5 & 0.5 \\ 1 & -2.5 & 2 & -0.5 \\ -0.5 & 0 & 0.5 & 0 \\ 0 & 1 & 0 & 0 \end{bmatrix} \begin{bmatrix} P_0 \\ P_1 \\ P_2 \\ P_3 \end{bmatrix}$$

Fig. 2. Formulas para o cálculo da posição num instante de tempo t

Esta equação, dado um instante de tempo t e quatro pontos de controlo, retorna a posição nesse instante. Mais ainda, se substituirmos a matriz do tempo pela sua derivada, obtemos a tangente da curva nesse instante, que é necessária para alinharmos a direção do objeto com a curva.

Apesar disto, esta equação apenas calcula a curva entre os pontos P_1 e P_2 , para além de que só faz uso de quatro pontos de controlo, o que não gera uma curva muito interessante. Por causa disto, para desenharmos a curva inteira, temos de conseguir iterar por todos os pontos de controlo, de forma a conseguirmos desenhar todos os segmentos constituintes da curva.

```
void Translate::get_global_catmull_rom_point(float gt, float *
pos, float *deriv) {
    int n_points = ctrl_points.size();

    float t = gt * n_points;
    int index = floor(t);
    t = t - index;
```

```

int indices[4];
indices[0] = (index + n_points - 1) % n_points;
indices[1] = (indices[0] + 1) % n_points;
indices[2] = (indices[1] + 1) % n_points;
indices[3] = (indices[2] + 1) % n_points;

auto p0 = ctrl_points[indices[0]];
auto p1 = ctrl_points[indices[1]];
auto p2 = ctrl_points[indices[2]];
auto p3 = ctrl_points[indices[3]];

get_catmull_rom_point(t, p0, p1, p2, p3, pos, deriv);
}

```

Esta funo recebe o tempo real decorrido e decide quais os pontos de controlo, assim como o tempo t dentro desse segmento que deve enviar para a funo que calcula a posio e a derivada.

De seguida, a translao pode ser aplicada imediatamente. Porm, para obtermos a matriz de rotao, necessitamos de mais alguns clculos:

$$\begin{aligned}
\vec{X}_i &= p'(t) \\
\vec{Z}_i &= X_i \times \vec{Y}_{i-1} \\
\vec{Y}_i &= \vec{Z}_i \times \vec{X}_i
\end{aligned}
\quad M = \begin{bmatrix} X_x & Y_x & Z_x & 0 \\ X_y & Y_y & Z_y & 0 \\ X_z & Y_z & Z_z & 0 \\ 0 & 0 & 0 & 1 \end{bmatrix}$$

Fig. 3. Clculo da matriz de rotao

Com esta matriz podemos finalmente aplica-la  a matriz do OpenGL atravs da funo *glMultMatrixf*.

Variveis adicionais De forma a acomodarmos as alteraes requeridas por esta fase, bem como outras que achamos interessantes adicionar, as seguintes variveis foram criadas na classe *Translate*:

- **vector<tuple<float, float, float>>** **ctrl_points** - Lista de todos pontos de controlo da curva;
- **bool align** - Define se o modelo deve, ou no, ser rodado de forma a ficar alinhado com a trajetria;
- **bool draw** - Define se a curva deve ser desenhada;
- **int curve_segments** - Nmero de segmentos em que a curva desenhada deve ser dividida.

Nota: Isto no afeta a translao, apenas o desenho da curva.

- **float** `last_y[3]` - Último Y calculado para matriz de rotação. (Ver figura 4)
- **int** `offset` - Offset temporal na animação.

4 Cena desenvolvida

4.1 Script em Python

Para gerarmos o ficheiro xml com o sistema solar especificado pelo enunciado, decidimos criar um *script* em Python para o gerar automaticamente. Isto tem o intuito de, não só facilitar a criação do ficheiro, mas também a de permitir adicionar elementos à cena que não seriam exequíveis manualmente. Entre estas estão:

- Criação das trajetórias dos planetas e do cometa;
- Adição de asteroides aos anéis de Saturno. Cada asteroide move-se a uma velocidade diferente;
- Adição de partículas à cauda do cometa. Cada partícula move-se a uma velocidade diferente e tem um ângulo de trajetória ligeiramente diferente;

Na secção dos anexos podemos observar o resultado final da cena desenvolvida.

5 Multiview

Na fase 2, nós introduzimos como funcionalidade extra o modo multiview. Nesta fase, decidimos expandir a utilidade desta funcionalidade do nosso programa, ao permitir um número variável e, teoricamente, ilimitado de vistas possíveis, bem como a seleção e o ajuste do tamanho de cada perspetiva.

Nota: A estratégia apresentada a seguir foi idealizada inteiramente pelo nosso grupo. Por causa disto, pode não ser a melhor nem a mais eficiente forma de implementar estas funcionalidades.

Para acomodarmos as funcionalidades mencionadas anteriormente, tivemos que alterar a forma como guardamos as vistas. Assim, criamos uma classe *View* que, essencialmente é uma *full tree* em que os nodos contêm um valor de divisão que especifica onde repartir o espaço que lhe foi alocado e as folhas são apontadores para perspetivas.

Cada perspetiva é guardada numa classe com o mesmo nome que inclui todos os valores relativos ao *look at* dessa perspetiva. Estas perspetivas estão, por sua vez guardadas numa lista à qual o nosso programa irá aceder para obter as várias perspetivas quando uma atualização da árvore de vistas for executada.

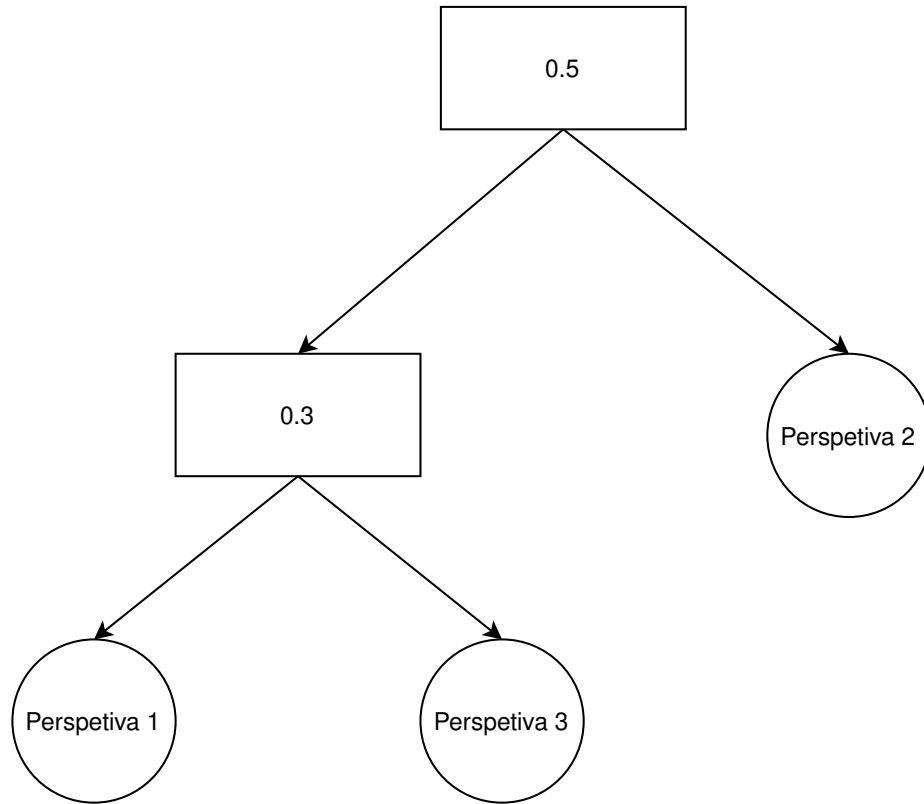


Fig. 4. Exemplo de uma rvore de vistas

Neste exemplo, numa janela 1920x1080 de resoluo, o nodo raiz, com uma diviso de 0.5 repartiria a janela em dois retngulos de 990x1080, sendo a metade esquerda, por sua vez repartida verticalmente num rcio de 0.30/0.70, ficando este retngulo dividido em dois pedaos menores, uma de 990x324 e outra de 990x756.

Recapitulando, com esta rvore acabamos no lado direito com a perspetiva 2 com um tamanho de 990x1080 e no lado esquerdo h ainda uma diviso vertical adicional, ficando a perspetiva 1 com o lado inferior e um tamanho de 990x324 e, por fim, a perspetiva 3 fica em cima com um tamanho de 990x756.

 possvel detetar que os nomes das perspetivas do diagrama esto ordenados de uma maneira "estranha". Isto  intencional, pois  assim que a nossa funo que constri a rvore de vistas atribui as perspetivas s diferentes vistas.

Observemos o seguinte diagrama:

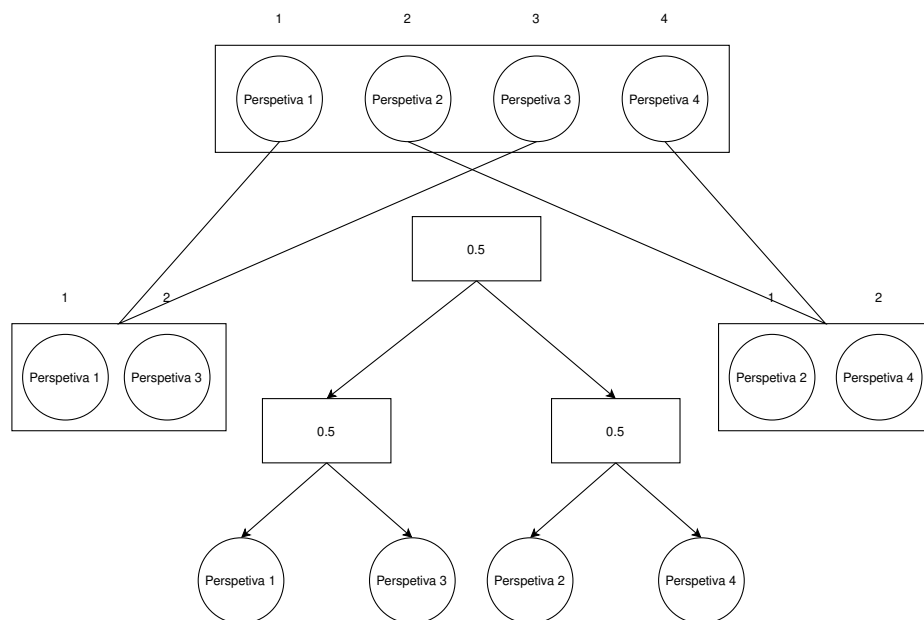


Fig. 5. Distribuição das perspetivas pelas vistas

Neste exemplo temos uma lista de quatro perspetivas a partir da qual queremos criar uma árvore de vistas. Assim, dividimos a lista em duas com metade do tamanho, com base na paridade do índice dos elementos e passamos uma metade para cada um dos lados. Isto é feito recursivamente até só termos uma lista de um elemento onde atribuímos a perspetiva à folha.

Este método é melhor que apenas dividir a lista ao meio, pois garante que, ao atualizarmos o número de vistas, estas se mantêm do mesmo lado do ecrã.

5.1 Seleção de vistas

Para permitir a seleção, temos primeiro que detetar que retângulo é que o utilizador está a selecionar.

Para isto, temos que descer a árvore de acordo com as coordenadas do rato no ecrã até chegarmos a uma folha, onde procedemos a substituir a vista. No entanto, surge um problema: o utilizador quer clicar outra vez para retornar ao modo em que se encontrava anteriormente e, por causa disto, não podemos substituir a árvore que tínhamos.

Para resolver este problema, precisamos de uma árvore de vistas adicional para guardarmos a perspetiva selecionada sem destruímos a árvore atual. Adicionamos, também uma *flag selected* que indica se uma perspetiva está selecionada ou não. Depois, para renderizar basta verificar se a *flag* está selecionada ou não e renderizar a árvore correta.

5.2 Redimensionamento das vistas

O redimensionamento das vistas ocorre de forma semelhante à seleção das perspectivas.

Começamos por descer pela árvore até encontrarmos um **nodo** em que o rato esteja próximo o suficiente da sua divisão e retornamos o apontador para esse **nodo**.

De seguida, usamos a posição do rato para calcular a nova divisão que esse nodo deve assumir e substituímos o valor.

Caso cheguemos a uma folha, significa que o utilizador não clicou em nenhuma divisão e não acontece nada.

6 Conclusão

Concluindo, nesta fase melhoramos os nossos conhecimentos sobre a criação e manipulação de curvas de Bezier e as curvas cúbicas de *Catmull-Rom*. Por outro lado, também decidimos melhorar a funcionalidade extra de multi-view implementada anteriormente. Também conseguimos melhorar o desempenho do *engine* guardando os vértices dos modelos na placa gráfica através da utilização dos *VBO's*.

De um modo geral, o grupo encontra-se bastante satisfeito com os resultados obtidos.

7 Anexos

De seguida mostramos algumas imagens das cenas que geramos:

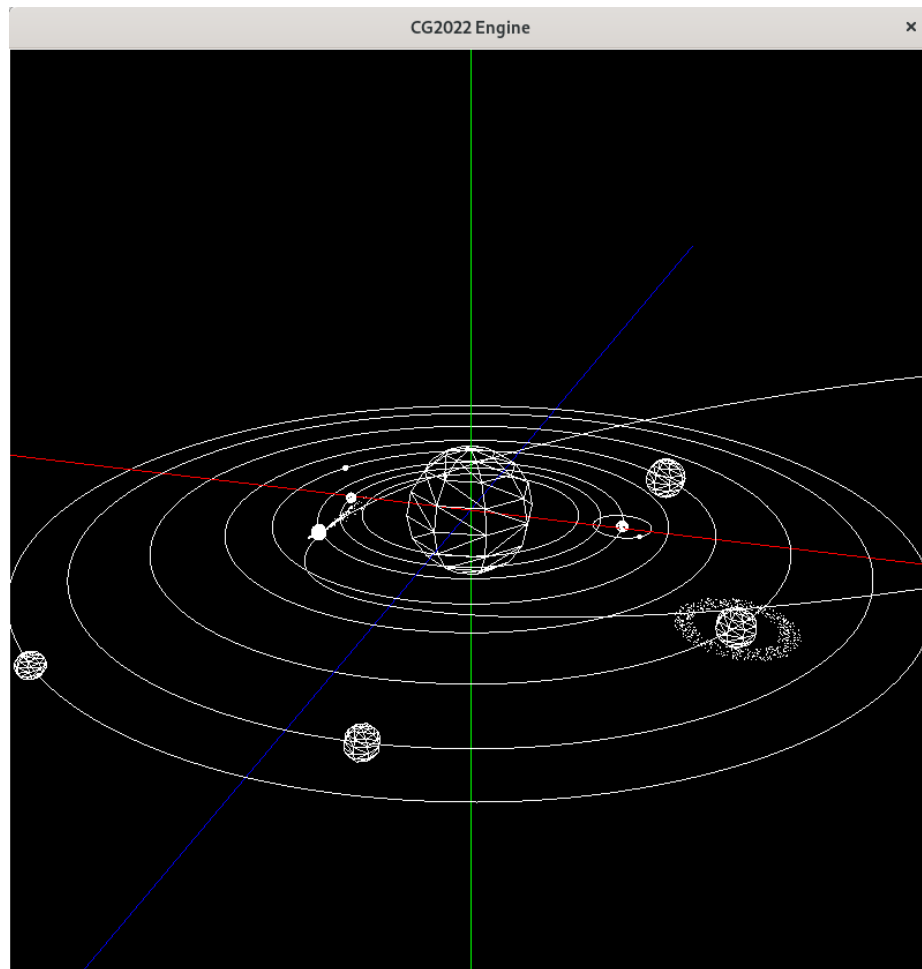


Fig. 6. Cena do sistema solar.

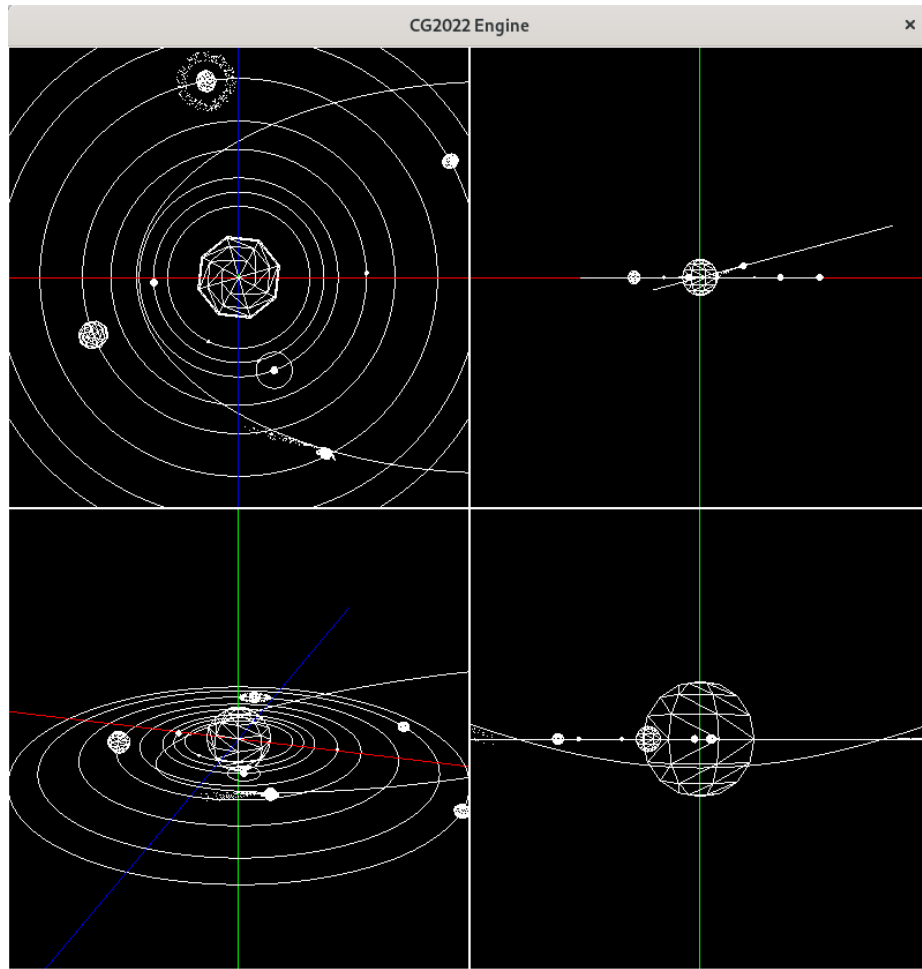


Fig. 7. Cena do sistema solar no modo multi-view. (4 perspetivas)

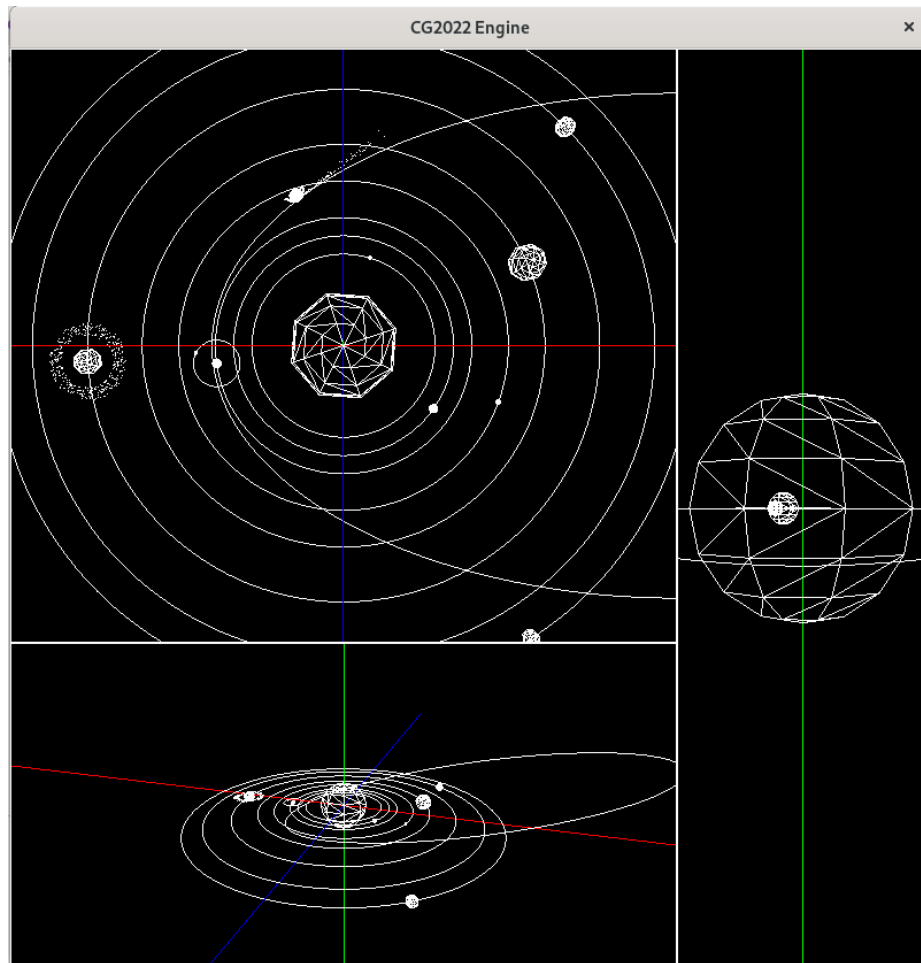


Fig. 8. Cena do sistema solar com as vistas redimensionadas